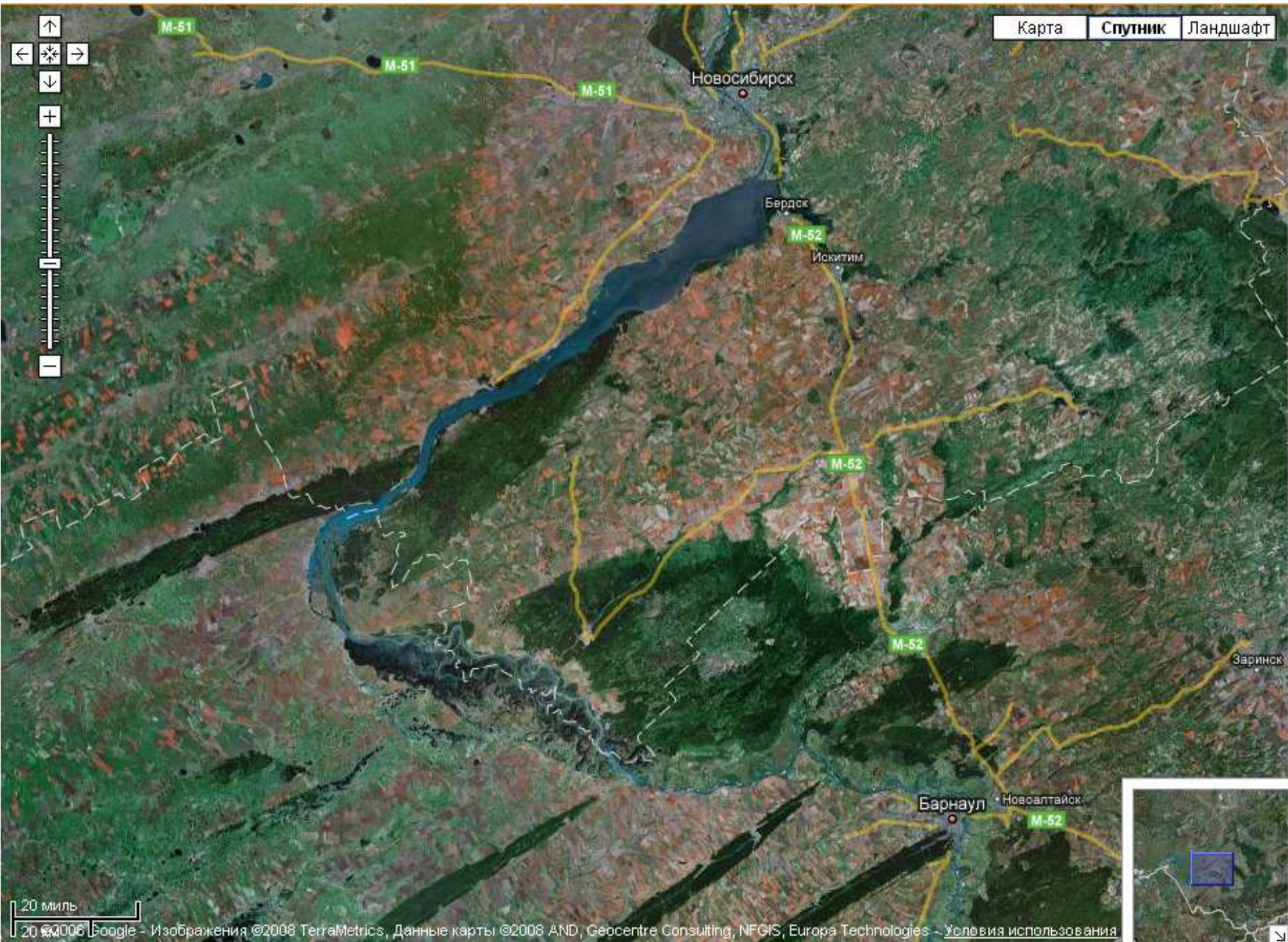
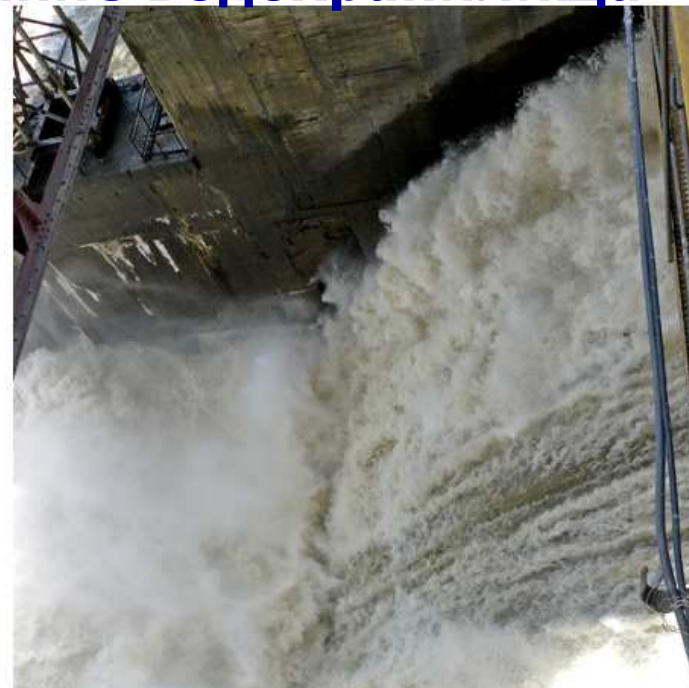


ПРИМЕНЕНИЕ ЛИМНОЛОГИЧЕСКИХ ПРОЦЕССОРОВ
ДЛЯ РАСЧЕТА КОНЦЕНТРАЦИЙ ХЛОРОФИЛЛА
В НОВОСИБИРСКОМ ВОДОХРАНИЛИЩЕ

Ковалевская Н.М., Кириллов В.В., Кириллова Т.В., Ловцкая О.В.
ИВЭП СО РАН



Многоцелевое использование водохранилища



- ***Цветение Новосибирского водохранилища***





Стерлядь



Осетр



Таймень



Нельма



Муксун

Шкалы оценки трофического состояния водоемов по содержанию хлорофилла «а»

Источник	0,1	0,2	0,3	0,4	0,5	0,6	0,7	0,8	0,9	1	2	3	4	5	6	7	8	9	10	20	30	40	50	60	70	80	90	100	>100																											
Г. Г. Винберг, 1960	олиготрофное										1	мезотрофное										10	эвтрофное										100	гипер																						
И. С. Захаренков, 1961	0,1	олиготрофное										1,6					мезотрофное					14					7,6					эвтрофное					53					73					гиперэвтрофное					224				
Likens, 1975	0,01	ультраолиготрофное			0,5			олиготрофное			3,0			дистрофное			10			2			мезотрофное			15			10			эвтрофное			500																					
R. G. Wetzel, 1975	0,01	ультраолиготрофное			0,5			олиготрофное			3,0			2			мезотрофное			15			10			эвтрофное			500																											
М. Оуэнс, 1977	0,3			олиготрофное			2,5			1			мезотрофное			15			5			эвтрофное			140																															
P. Z. Brezonik, E. E. Shannon по Г. Г. Винбергу, 1986	олиготрофное						1,8			мезотрофное			4,3			эвтрофное			40			гиперэвтрофное																																		
А. Ю. Милиус, В. О. Кываск, 1979	олиготрофное						3			мезотрофное			8			эвтрофное			20			гиперэвтрофное																																		
И. С. Трифонова, 1979	олиготрофное						1,5			мезотрофное			10			эвтрофное			50			гиперэвтрофное																																		
R. A. Vollenweider, J. Kerekes, 1980	0,3			олиготрофное			4,5			3			мезотрофное			11			2,7			эвтрофное			78			100			гипер. 150																									
А. Ю. Милиус, 1981	олиготрофное						4			8			мезотрофное			16			эвтр. 32			гиперэвтрофное																																		
OECD, 1982	ультраолиготрофное						1			2,5			мезотрофное			8			эвтрофное			25			гиперэвтрофное																															
В. В. Бульон, 1983	0,1	олиготрофное						1			мезотрофное			10			эвтрофное			100			гиперэвтрофное																																	
С. П. Китаев, 1984	олиготрофное						2			мезо			12			эвтрофное			48			гипертрофное																																		
Оксинок, Жукинский, Брагинский, 1993	олиготрофное						1,5			β			α			6			κ			α			24			β			76			политрофная (>150 – гипертрофная)			150																			

Качество воды - ?



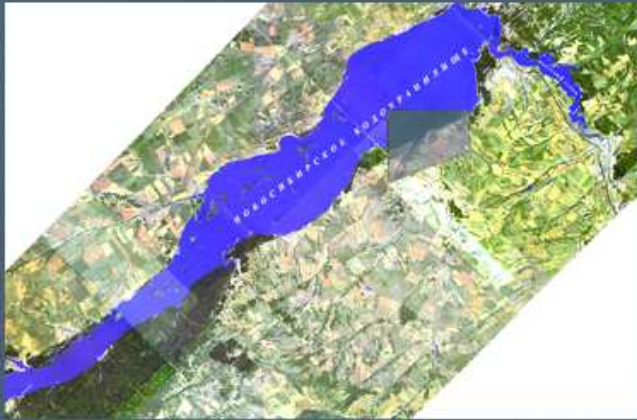
Экологическое состояние - ?



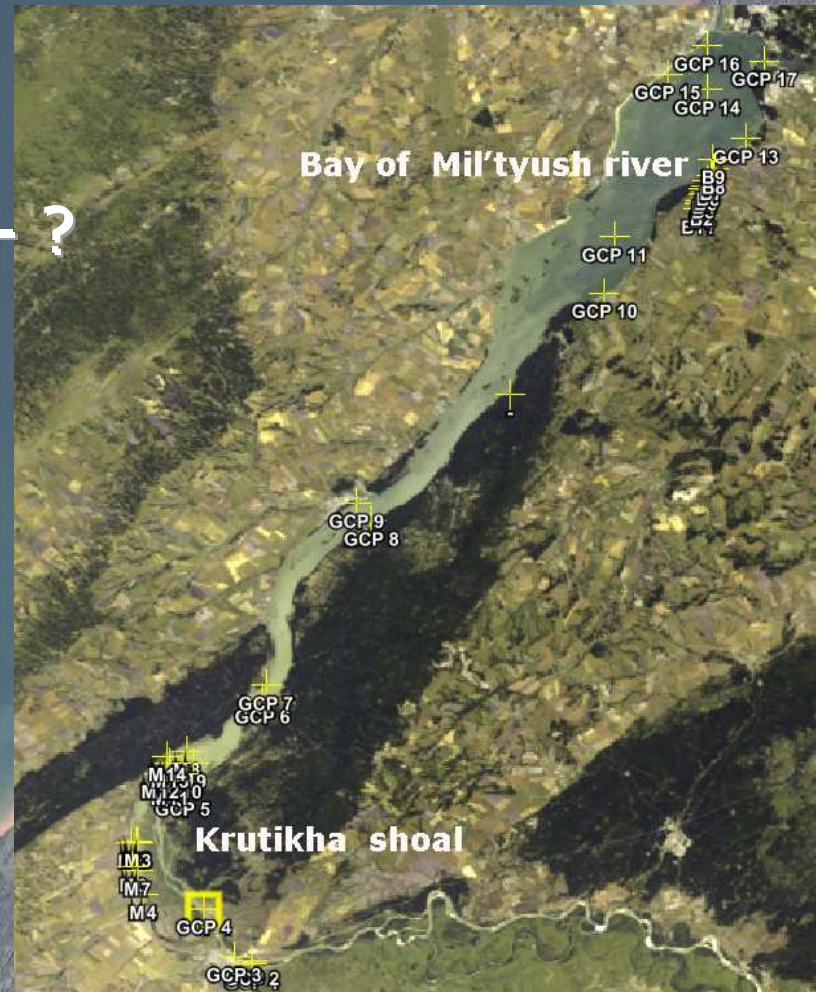


Наиболее высокое
содержание
хлорофилла «а» -
до **70mg/l** -
было отмечено
в июле 1982





Какие оптические данные ДЗ - ?





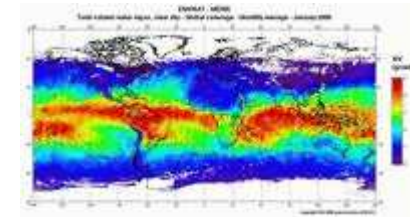
SENSOR	AGENCY	SATELLITE	LAUNCH	RESOLUTION (m)	BANDS	SPECTRAL COVERAGE (nm)
SeaWiFS <i>http://www.ioccg.org/sensors/seawifs.html</i>	NASA (USA)	OrbView-2 (USA)	01/08/97	1100	8	402-885
MODIS-Terra <i>http://www.ioccg.org/sensors/terra.html</i>	NASA (USA)	Terra (USA)	18/12/99	1000	36	405-14385
MERIS <i>http://www.ioccg.org/sensors/meris.html</i>	ESA (Europe)	ENVISAT-1 (Europe)	01/03/02	300/1200	15	412-1050
MODIS- Aqua <i>http://www.ioccg.org/sensors/aqua.html</i>	NASA (USA)	Aqua (EOS-PM1)	04/05/02	1000	36	405-14385

ENVISAT (ENVironment, SATellite)

MERIS (Medium Resolution Imaging Spectrometer)

1 марта 2002

Номер канала	Длина волны ± ширина канала (нм)	Применение
1	412.5 ± 10	Желтое вещество и пигменты детрита
2	442.5 ± 10	Максимум поглощение хлорофилла
3	490 ± 10	Хлорофилл и другие пигменты
4	510 ± 10	Взвешенное вещество, красные приливы
5	560 ± 10	Минимум поглощения хлорофилла
6	620 ± 10	Взвешенное вещество
7	665 ± 10	Поглощение хлорофилла и флуоресценция.
8	681.25 ± 7.5	Максимум флуоресценция хлорофилла
9	708.75 ± 10	Флуоресценция (fluorescence reference)
10	753.75 ± 7.5	Растительность, облачность
11	760.625 ± 3.75	Поглощение кислорода
12	778.75 ± 15	Поправки на влияние атмосферы
13	865 ± 20	Растительность, водяной пар
14	885 ± 10	Поправки на влияние атмосферы
15	900 ± 10	Водяной пар, земная поверхность

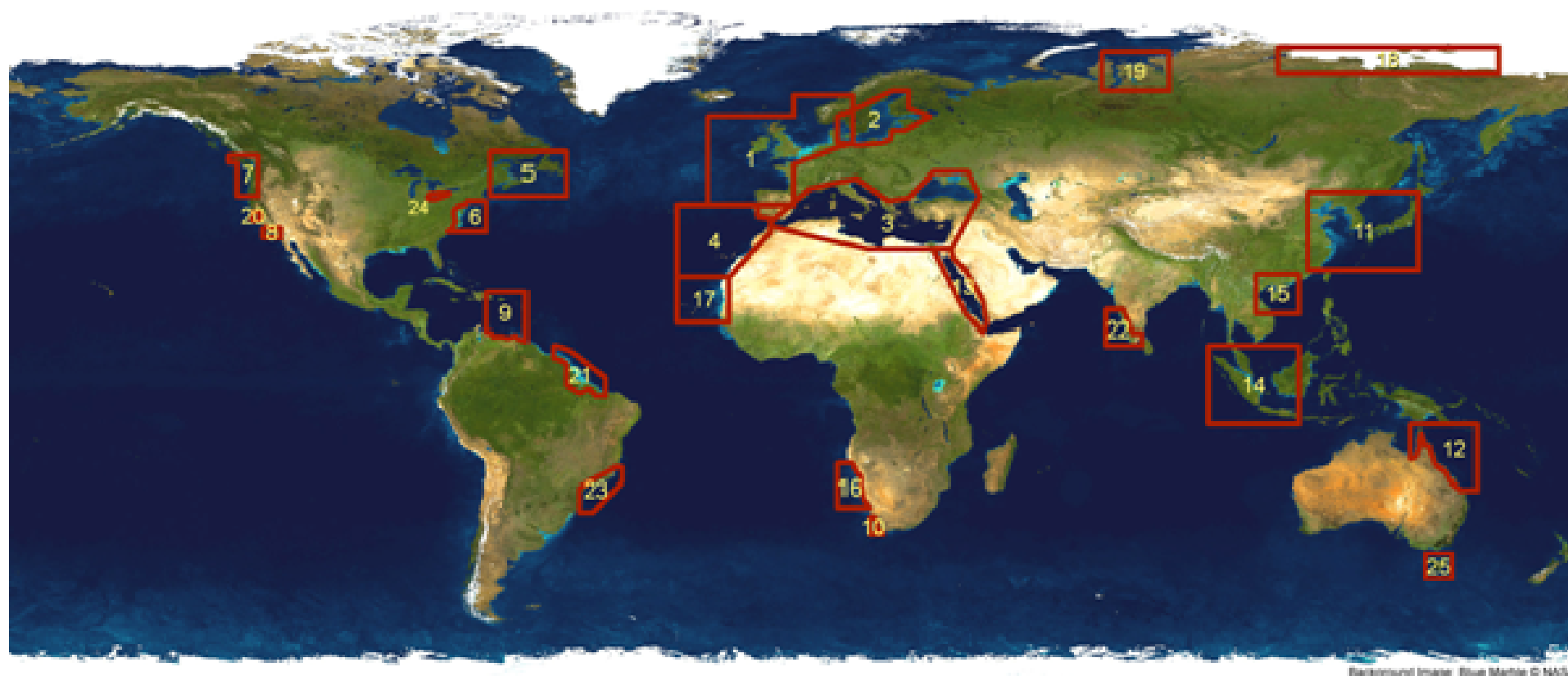


Case-1 waters:

OC2 (2, 5)

OC4 (2, 3, 4, 5)

Coastcolour Sites



Case-2 waters:

- Прибрежные области океана
- Лимнологические объекты



Search

News

20.07.2011
BEAM is mentor at ESA SOCIS.

12.05.2011
BEAM 4.9 is now available.

31.03.2011
Spring bloom in Baltic Sea.

17.03.2011 Brockmann

[about](#) [portfolio](#) [projects](#) [customers](#) [gallery](#) [contact](#)

"The important thing is not to stop questioning." *Albert Einstein*

```
Operator
initialize()
compute(...)
↑
<<create>>
```

Environmental informatics

We offer custom-made software solutions developed in close cooperation with our clients. The department of Environmental Informatics develops applications, tools and techniques for processing of information originating from environmental observations. The solutions developed foster scientific assessments and monitoring of the Earth's state and help finding answers for urgent environmental problems.

[more ...](#)



Geoinformation services

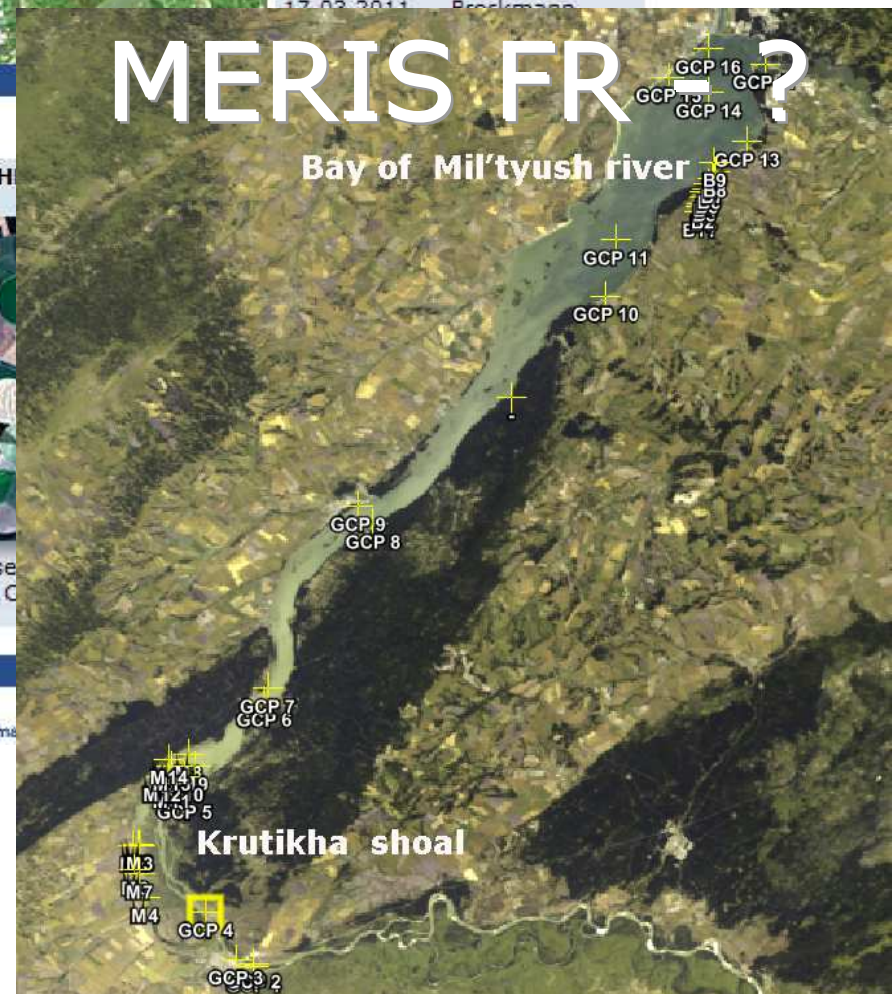
Our Geoinformation Services include value-added products and thematic information derived from remote sensing data and scientific consultancy for environmental concerns. Our offer ranges from mosaics of satellite images to qualitative and quantitative information concerning our environment. We serve local and global applications with focus on the marine and coastal environment.

[more ...](#)



The noise applied to C

[location](#) • [download](#) • [site map](#) • [internal](#)



Модель переноса излучения в
атмосфере, релизованная в системе
Hydrolight

SEQUOIA



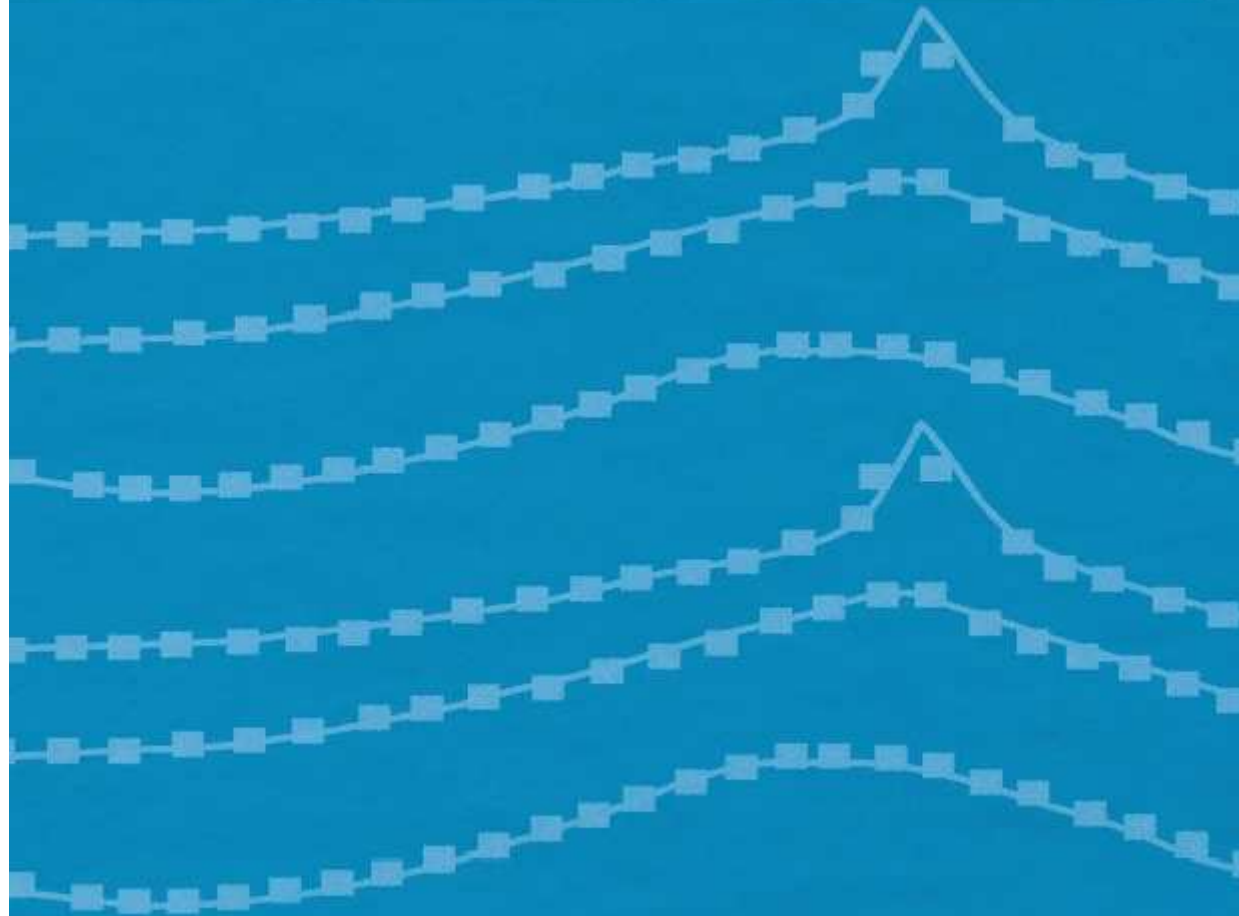
HYDROLIGHT 4.2



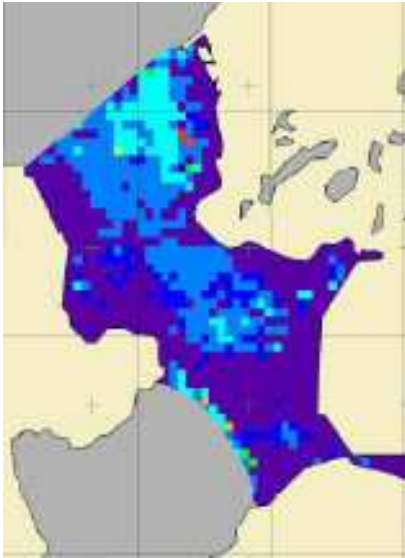
Sequoia Scientific Inc., WA

Light and Water

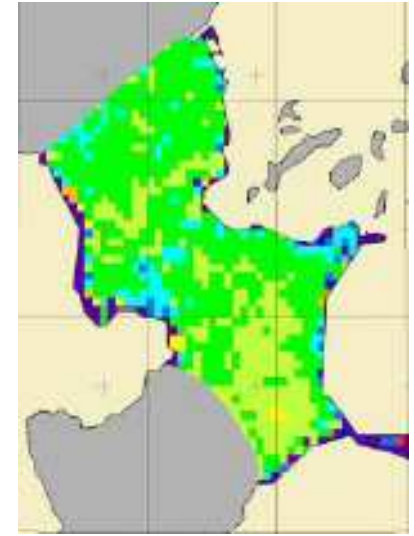
Radiative Transfer in Natural Waters



Curtis D. Mobley



Параметры для обучения



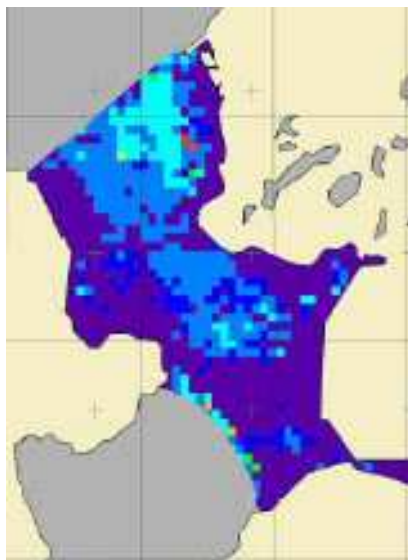
Concentration	Coastal alg.	Boreal alg.	Eutrophic alg.
Chl a [mg/m^3]	$21 * a_{pig}(442)^{1.04}$	$62.6 * a_{pig}(442)^{1.29}$	$26.32 * a_{pig}(442)$
TSM [g/m^3]	$1.72 * b_{tsm}(442)$	$1.042 * b_{tsm}(442)$	$1.7 * b_{tsm}(442)$

Уравнения связи первичных гидрооптических характеристик с концентрациями хлорофилла и взвешенного вещества:

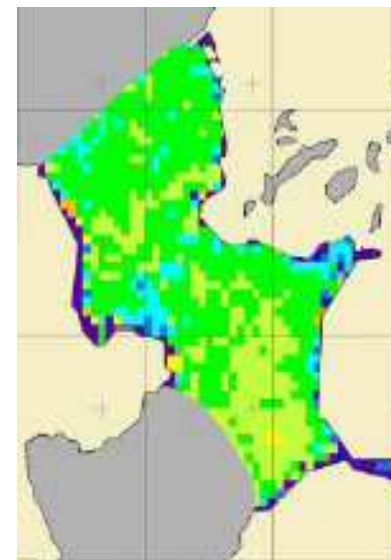
a_{pig} – показатель поглощения пигментами фитопланктона,
 b_{tsm} – показатель рассеяния на частицах взвеси

Concentration	Coastal	Boreal	Eutrophic	Water
Chl a [mg/m^3]	0.016 - 43.18	0.5 - 50	1 - 120	0.05 - 50.0
TSM [g/m^3]	0.0086 - 51.6	0.1 - 20	0.005 - 5	0.05 - 50.0
CDOM [m^{-1}]	0.005 - 5	0.25 - 10	0.1 - 3.0	0.005 - 1.0

Диапазоны концентраций, используемых в различных процессорах



СПЕЦИФИКА СПЕКТРАЛЬНЫХ СВОЙСТВ
ГИДРООПТИЧЕСКИХ ХАРАКТЕРИСТИК ПРИБРЕЖНЫХ ВОД,
ОЗЕР И ВОДОХРАНИЛИЩ



CASE-2 АЛГОРИТМ
ДЛЯ **ПРИБРЕЖНЫХ** ВОД=
=

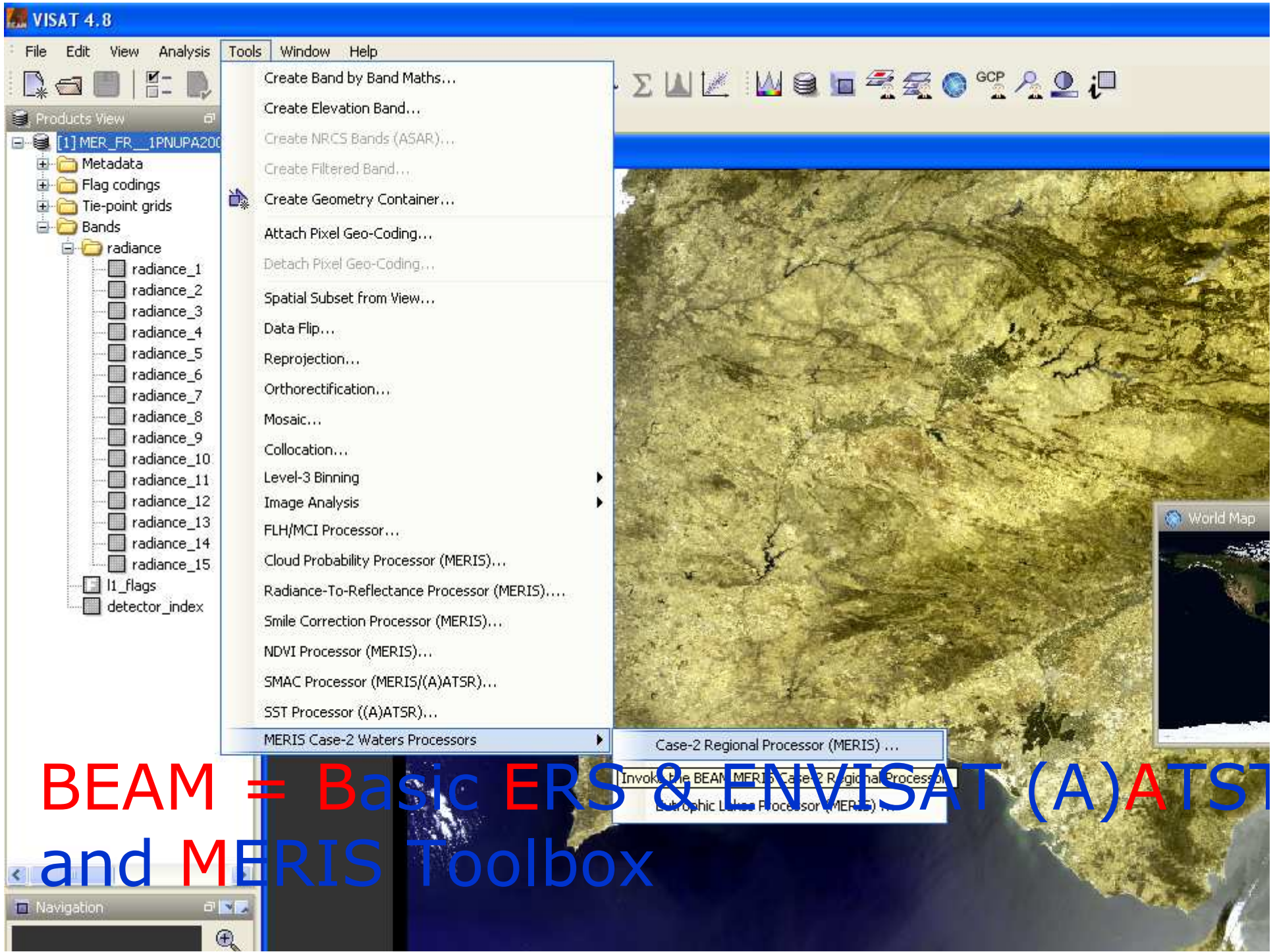
МЕЛКАЯ ВОДА
У
КОНТИНЕНТАЛЬНЫХ ШЛЕЙФОВ

ЛИМНОЛОГИЧЕСКИЙ АЛГОРИТМ
ДЛЯ **БОРЕАЛЬНЫХ** ОЗЕР,
ХАРАКТЕРИЗУЮЩИМИСЯ

ВЫСОКИМИ КОНЦЕНТРАЦИЯМИ
РАСТВОРЕННОГО
ОРГАНИЧЕСКОГО
ВЕЩЕСТВА

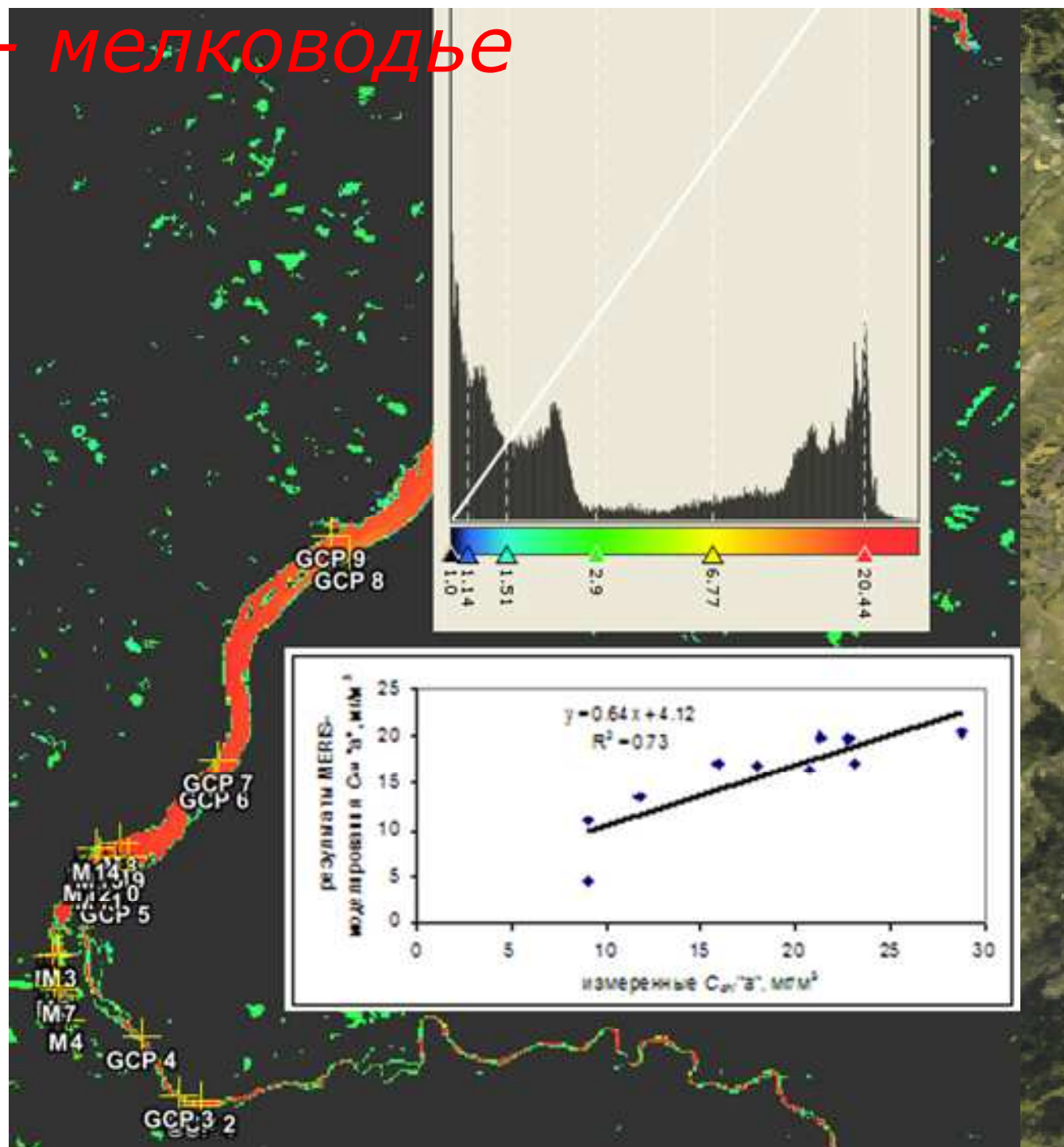
ЛИМНОЛОГИЧЕСКИЙ АЛГОРИТМ
ДЛЯ **ЭВТРОФНЫХ** ОЗЕР,
ХАРАКТЕРИЗУЮЩИМИСЯ

ВЫСОКИМИ КОНЦЕНТРАЦИЯМИ
ХЛОРОФИЛЛА «а»

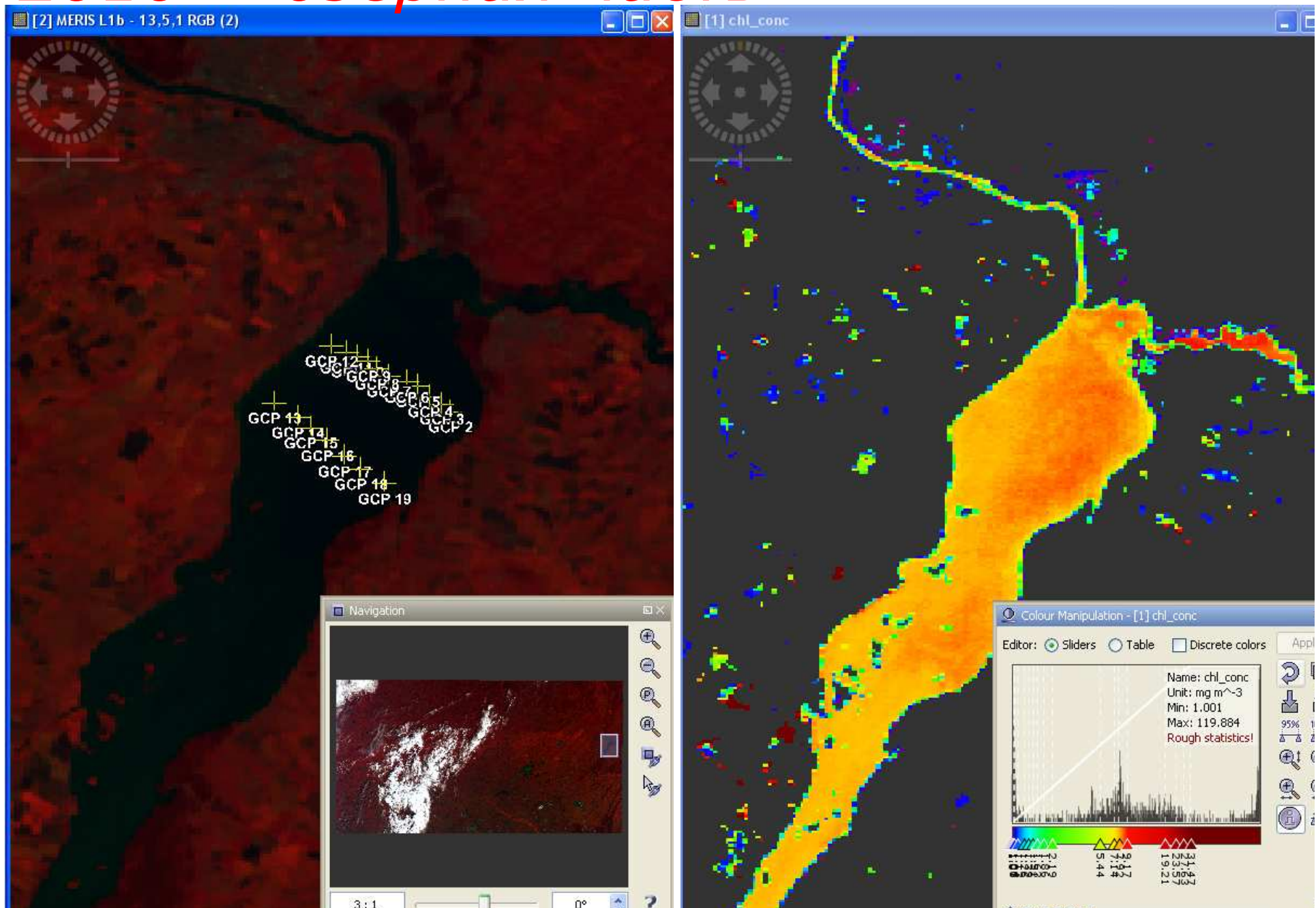


BEAM = Basic ERS & ENVISAT (A)ATSR
and MERIS Toolbox

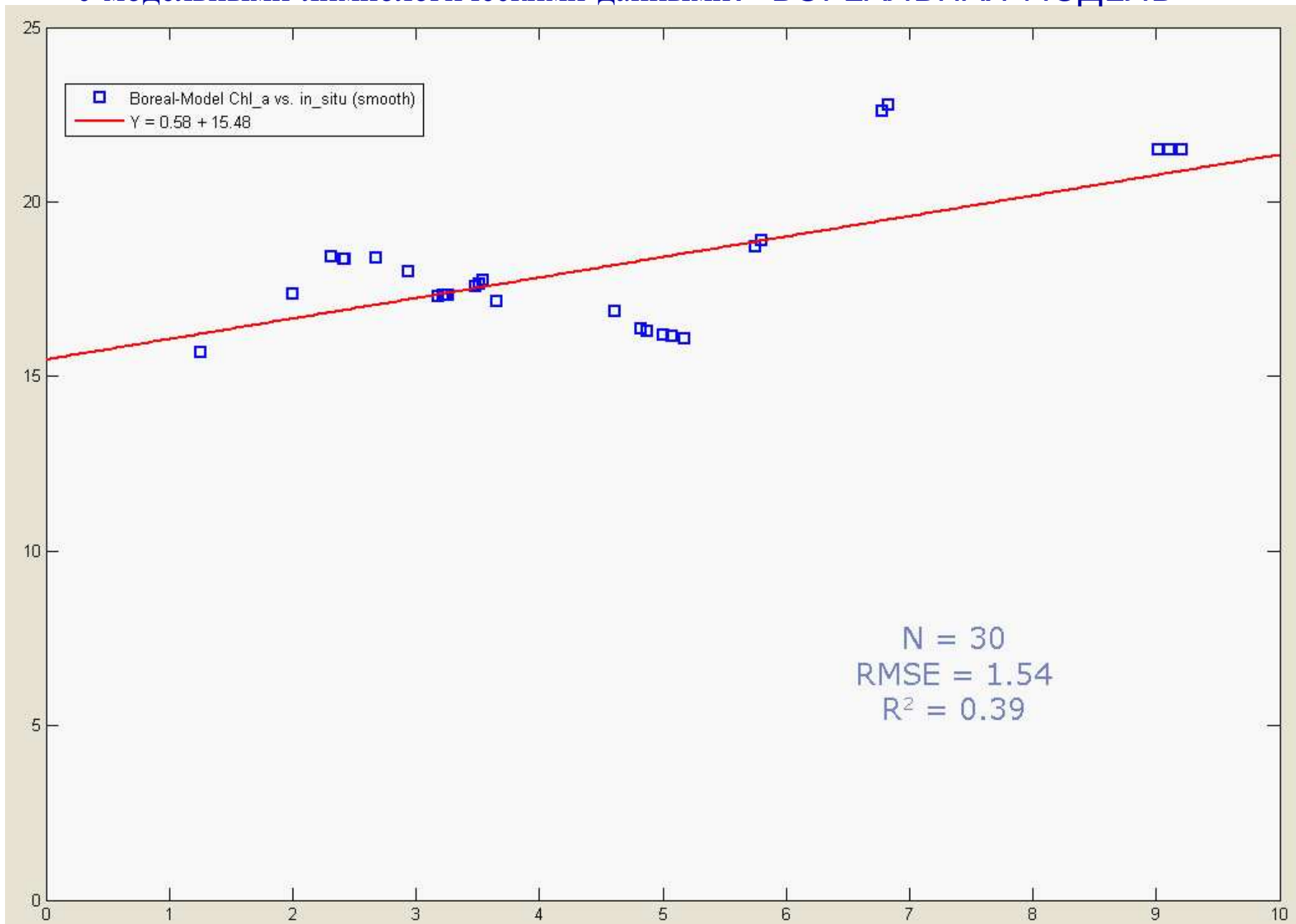
2008 - мелководье



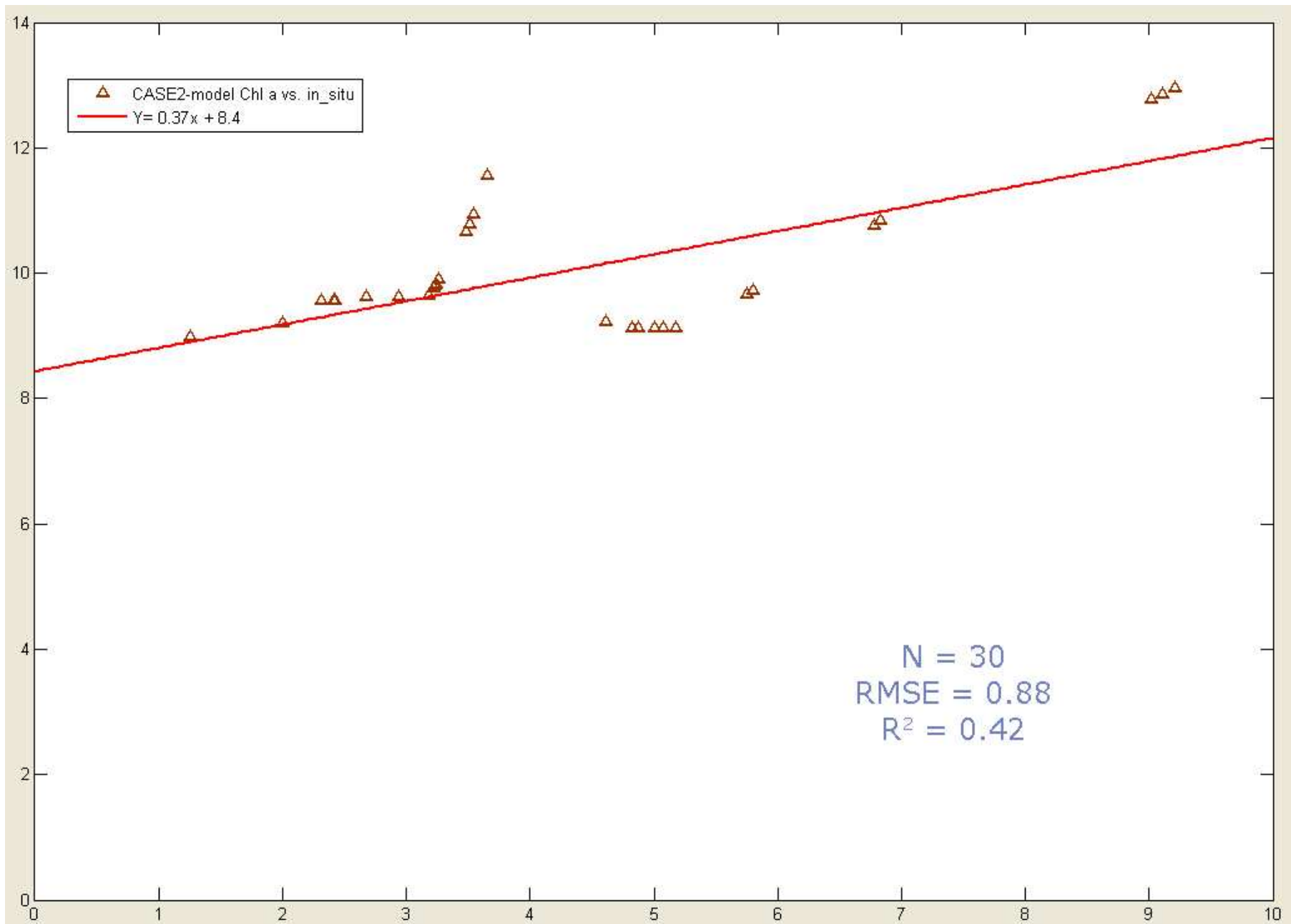
2010 - озерная часть



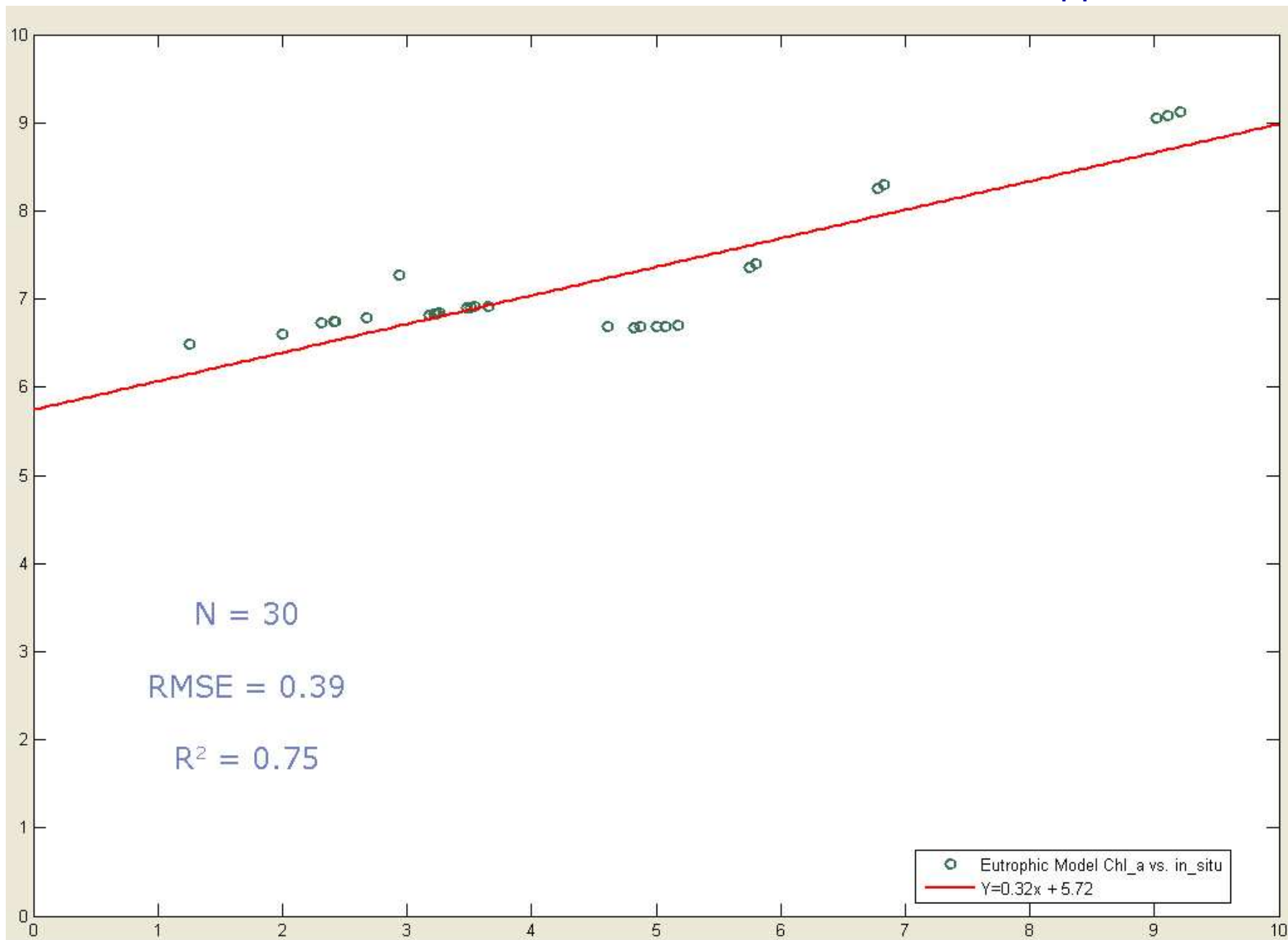
Сравнение результатов измерений концентраций хлорофилла с модельными лимнологическими данными: БОРЕАЛЬНАЯ МОДЕЛЬ

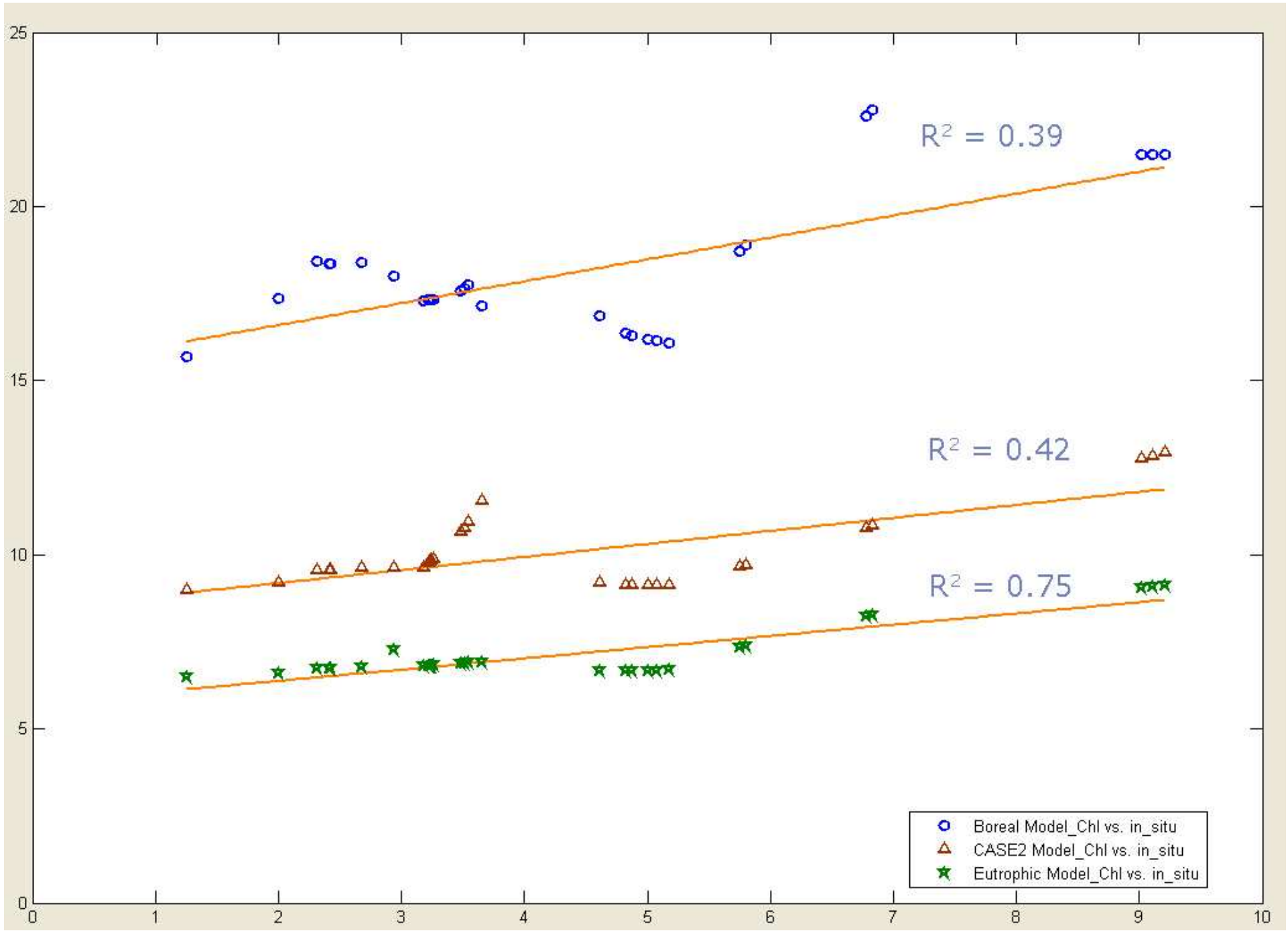


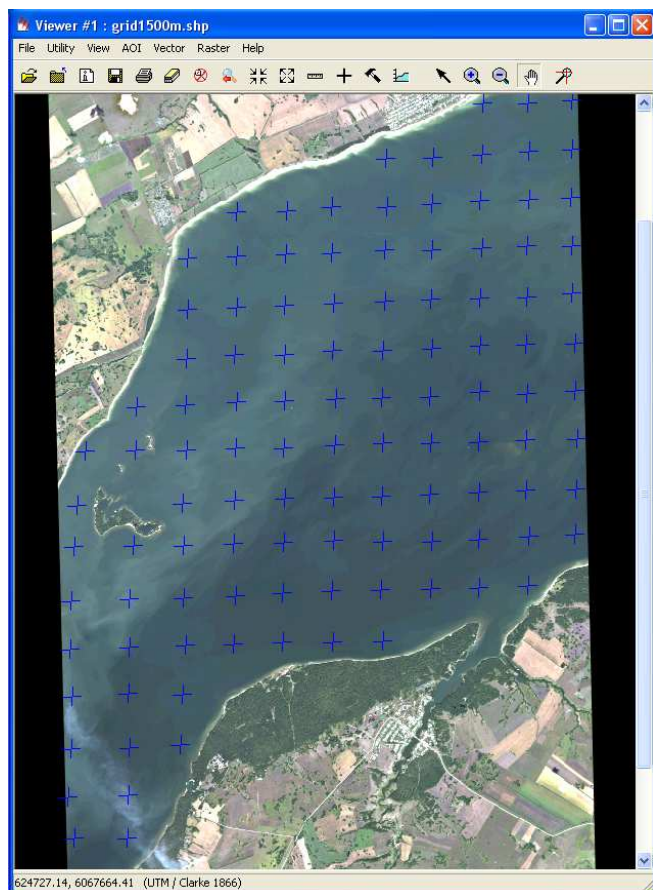
Сравнение результатов измерений концентраций хлорофилла с модельными лимнологическими данными: ПРИБРЕЖНАЯ МОДЕЛЬ



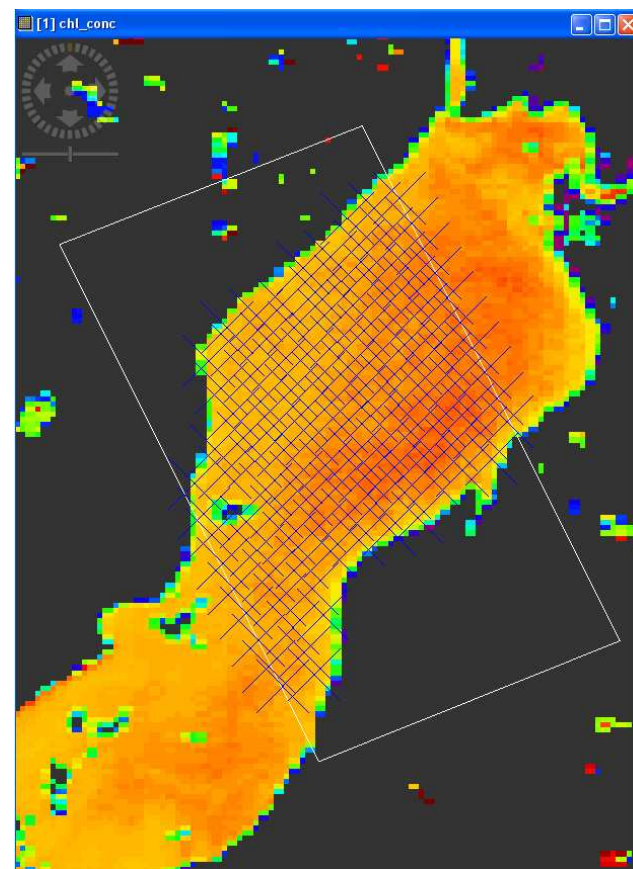
Сравнение результатов измерений концентраций хлорофилла с модельными лимнологическими данными: ЭВТРОФНАЯ МОДЕЛЬ







WorldView-2 (27.08.2010)



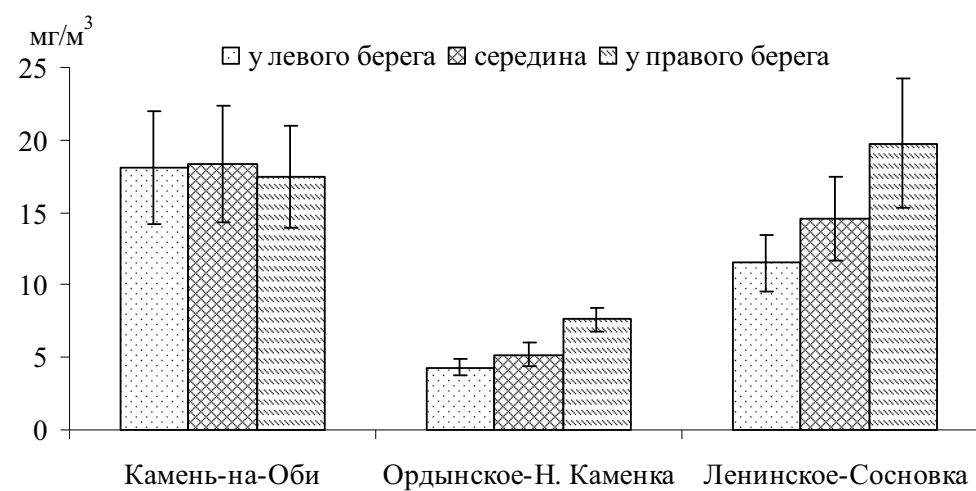
MERIS Chl-a (28.08.2010)

Chlorophyll spectral properties: spectral range (nm)	WorldView-2 Band	# MERIS Band
Chlorophyll absorption maximum: 442	Coastal Blue	2
Chlorophyll: 480 - 500	Blue	3,4
Chlorophyll absorption minimum: 550 - 570	Green	5
Chlorophyll absorption and fluorescence: 655 - 675	Red	7
Chlorophyll fluorescence peak: 683	Red	8
Fluorescence: 695 - 715	Red-Edge	9

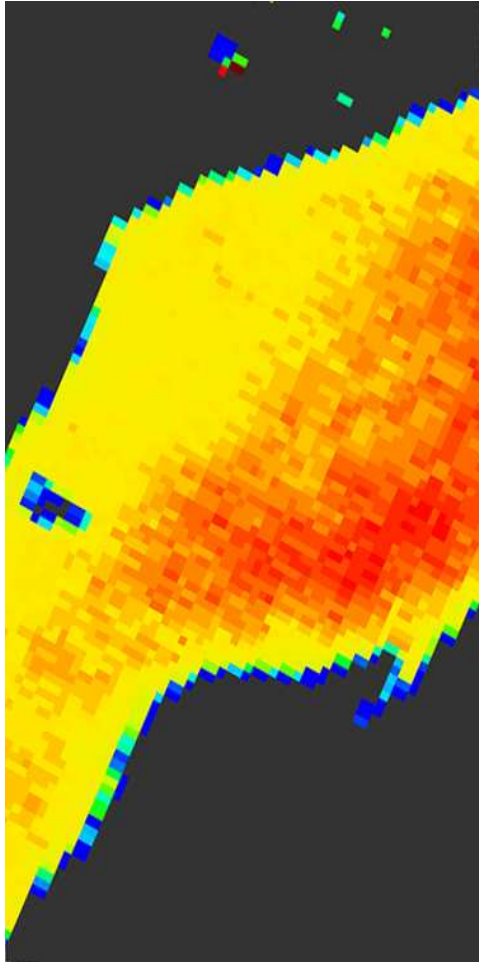
Алгоритмы получения концентраций хлорофилла на основе использования **WorldView-2** данных

Chl-a algorithm #	$x = \text{function}(\text{WV-2_band}_n, \text{WV-2_band}_m, \text{WV-2_band}_k),$ $\{n, m, k\} \in \{\text{Coastal}, \text{Blue}, \text{Green}, \text{Yellow}, \text{Red}, \text{Red-Edge}, \text{NIR1}\}$	Source
I	Blue/Green	Heim et al. 2005
II	Coastal/Green	Gordon et al. 1983, Heim et al. 2005
III	Green /Blue	Kopelevich et al. 2008
IV	Green /Red	Murphy et al. 2005
V	Red-Edge/Red	Huang et al. 2010
VI	$(1/\text{Red} - 1/\text{Red-Edge})\text{NIR1}$	Matishov et al. 2010
VII	$\log_{10}(\text{Blue}/\text{Green})$	O'Reilly et al. 1998, Kendall et al. 2003, Permyakov et al. 2004
VIII	$\log_{10}(\text{Coastal}/\text{Green})$	Kendall et al. 2003, Permyakov et al. 2004
IX	$\log_{10}(\max\{(\text{Coastal}/\text{Green}), (\text{Blue}/\text{Green})\})$	O'Reilly et al. 2000, Permyakov et al. 2004
X	Yellow	Marchisio 2010

1. **VIII -log10 (Coastal/Green)**
2. **IX - log10 (max{(Coastal/Green), (Blue/Green)})**
3. **VII -log10 (Blue/Green)**
4. **II - Coastal/Green**
5. **I - Blue/Green**

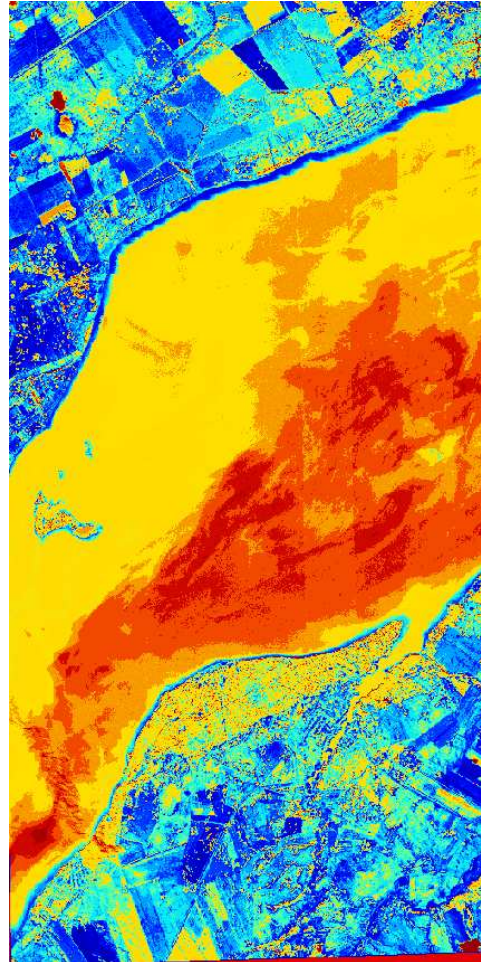


MERIS-Chl
(Eutrophic)



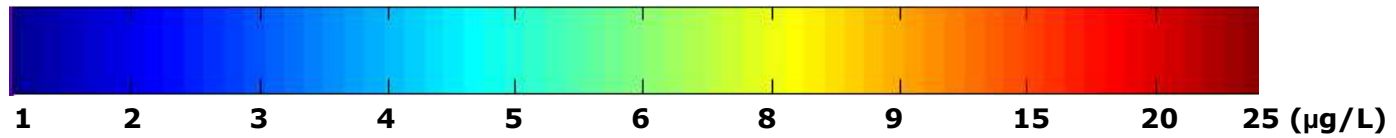
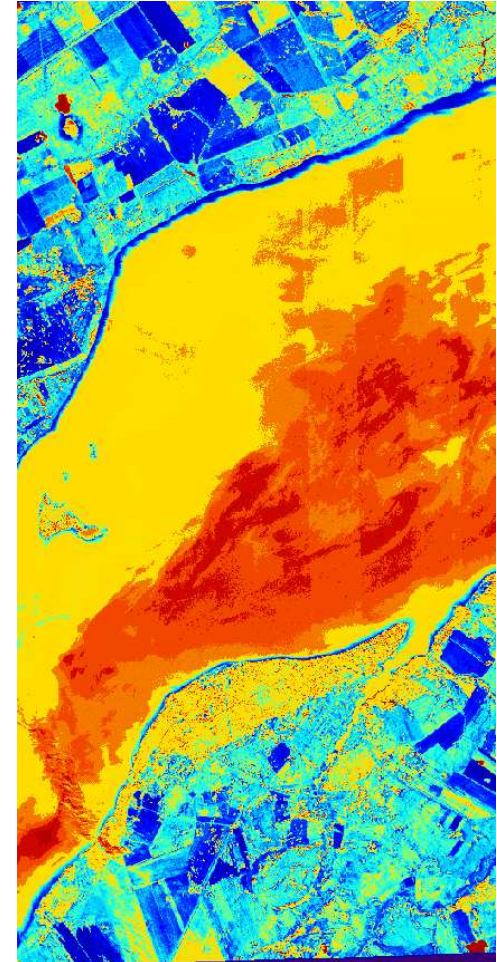
WV-2-Chl, OC-2

log10
(Coastal/Green)



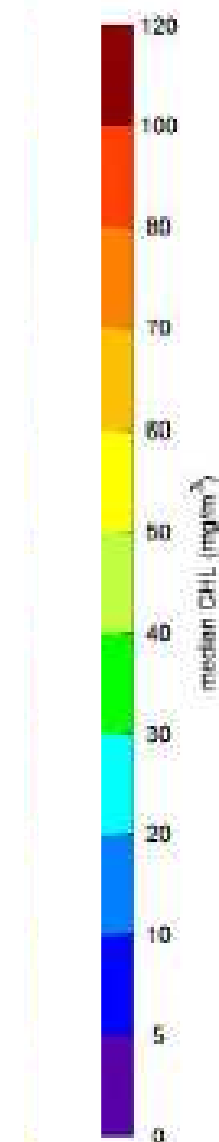
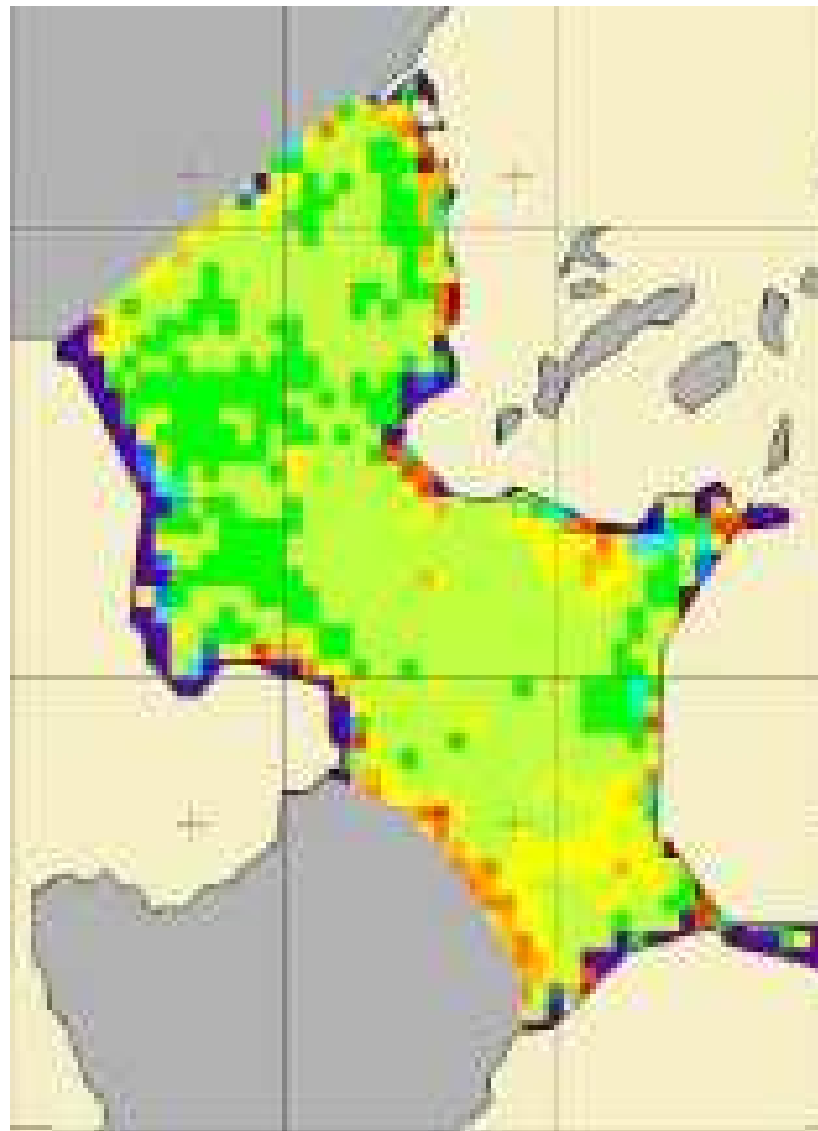
WV-2-Chl , OC-4

log10
(max{(Coastal/Green),
(Blue/Green)})



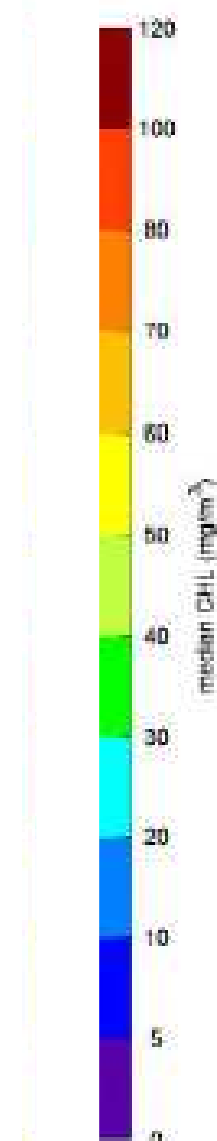
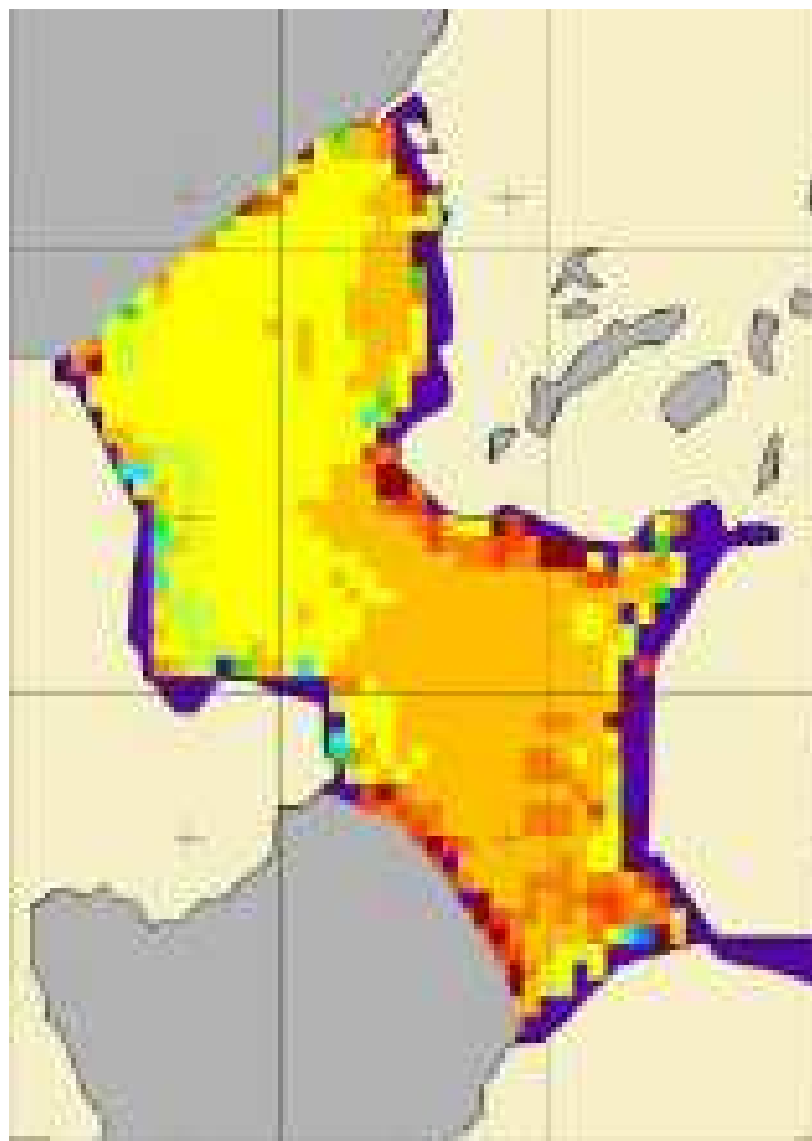
Хлорофилл (миллиграммы/куб.метр.) на основе MERIS-данных

Апрель



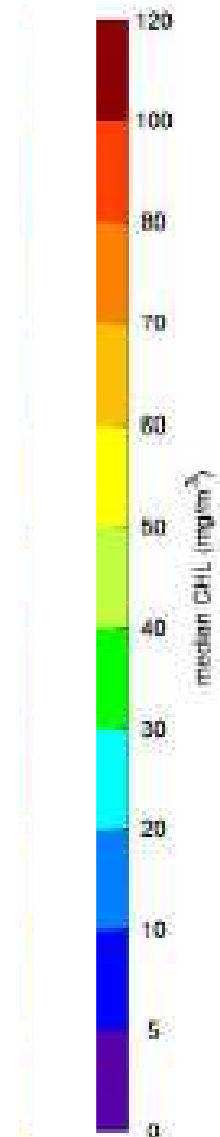
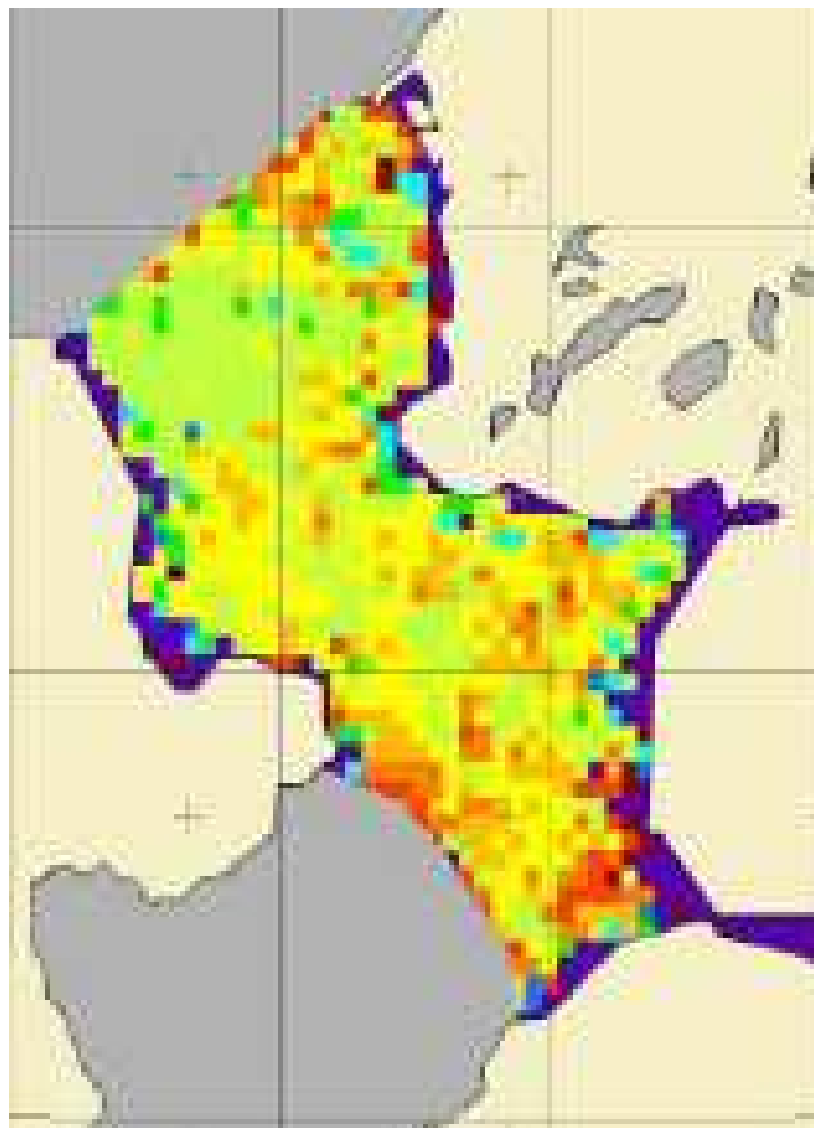
Хлорофилл (миллиграммы/куб.метр.) на основе MERIS-данных

Май



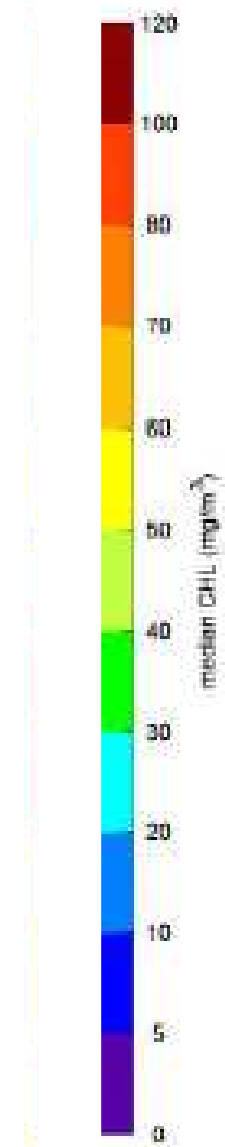
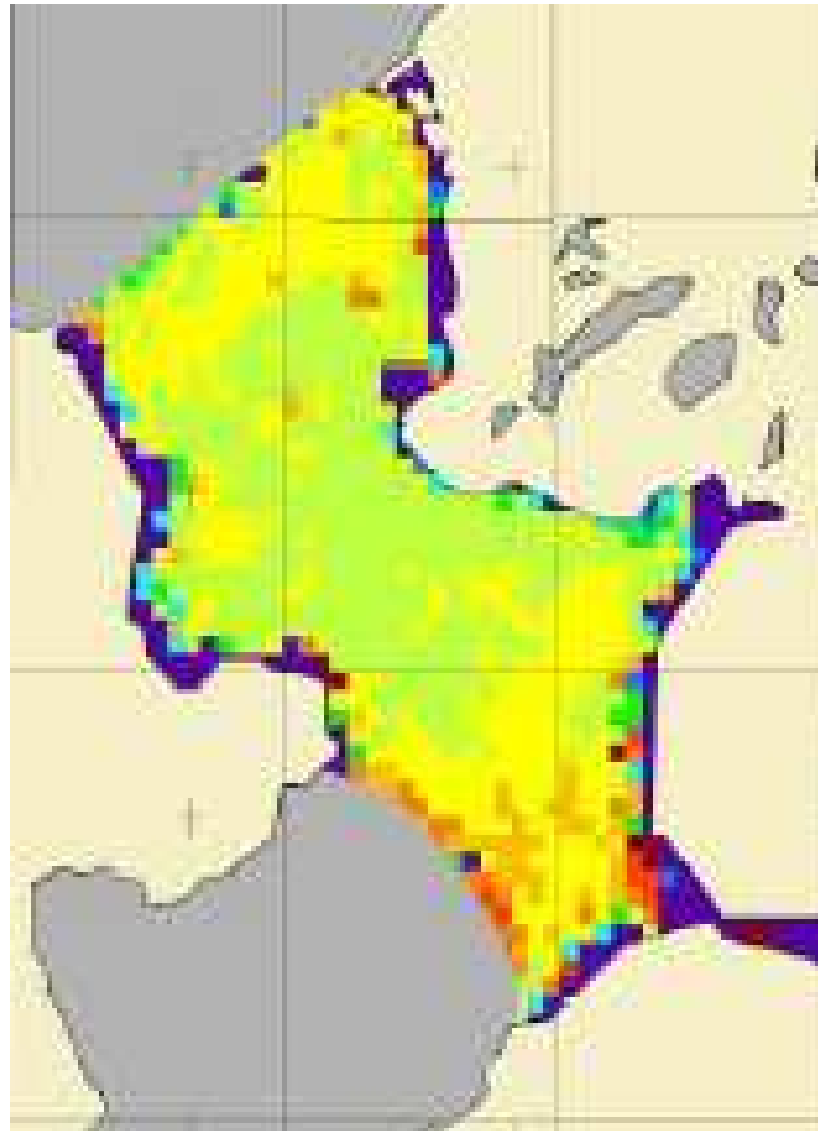
Хлорофилл (миллиграммы/куб.метр.) на основе MERIS-данных

Июнь



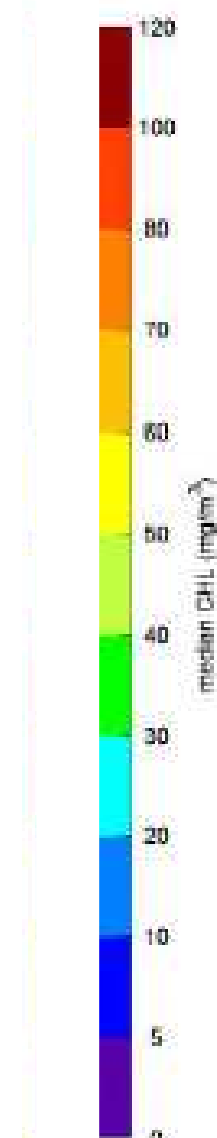
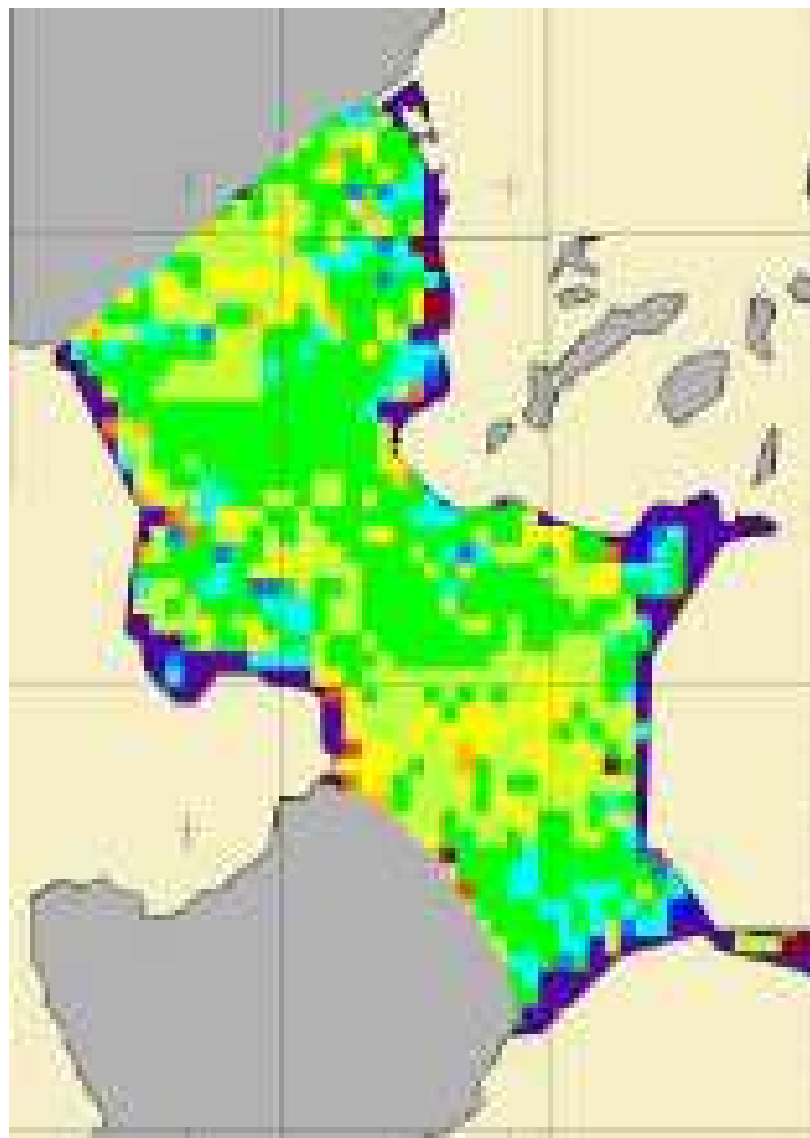
Хлорофилл (миллиграммы/куб.метр.) на основе MERIS-данных

Июль



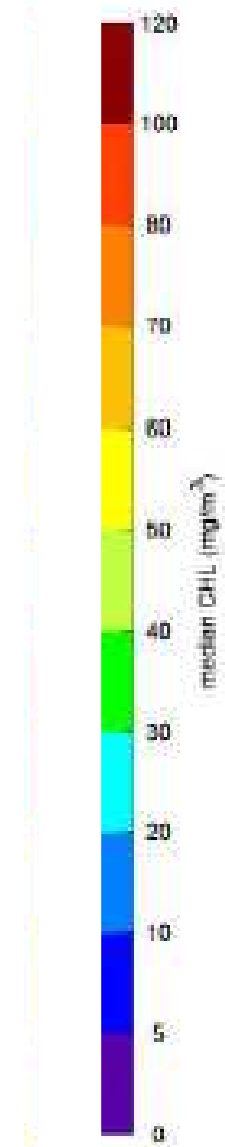
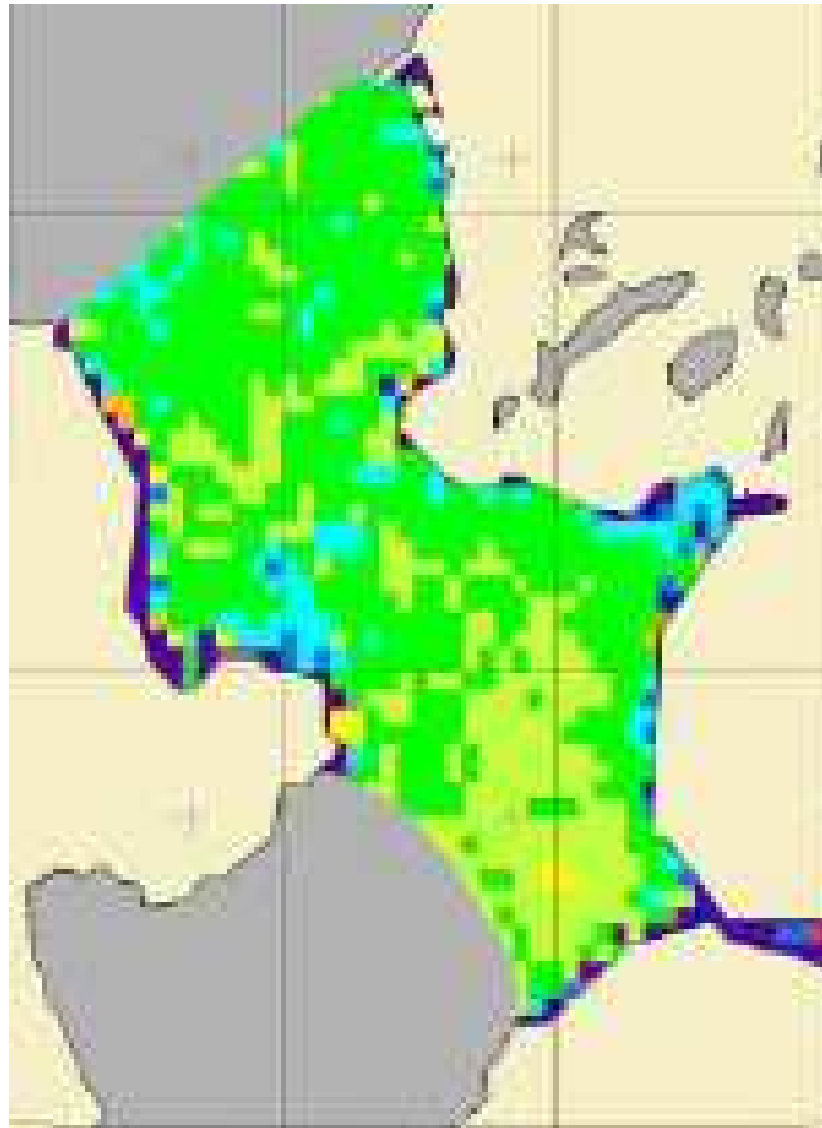
Хлорофилл (миллиграммы/куб.метр.) на основе MERIS-данных

Август



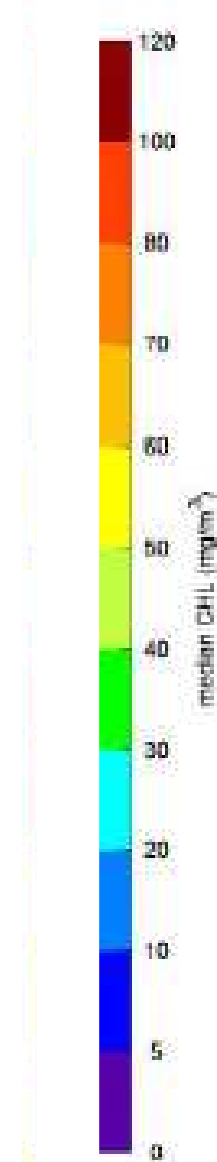
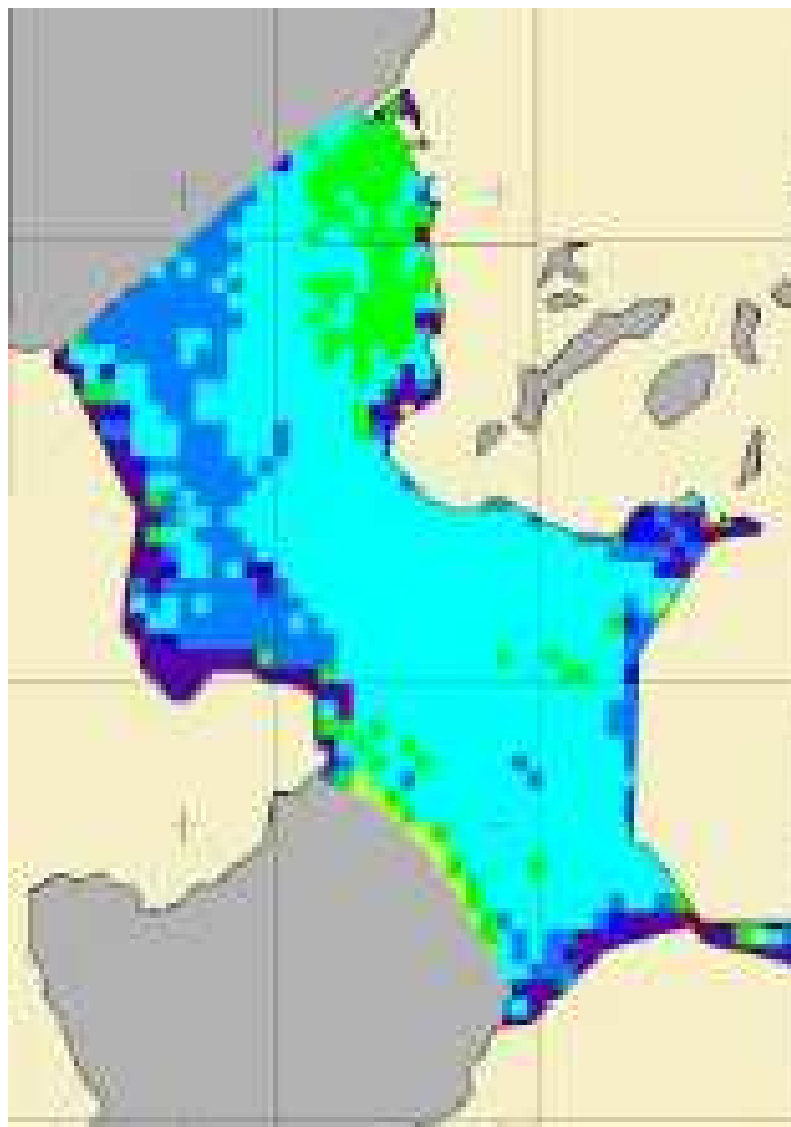
Хлорофилл (миллиграммы/куб.метр.) на основе MERIS-данных

Сентябрь

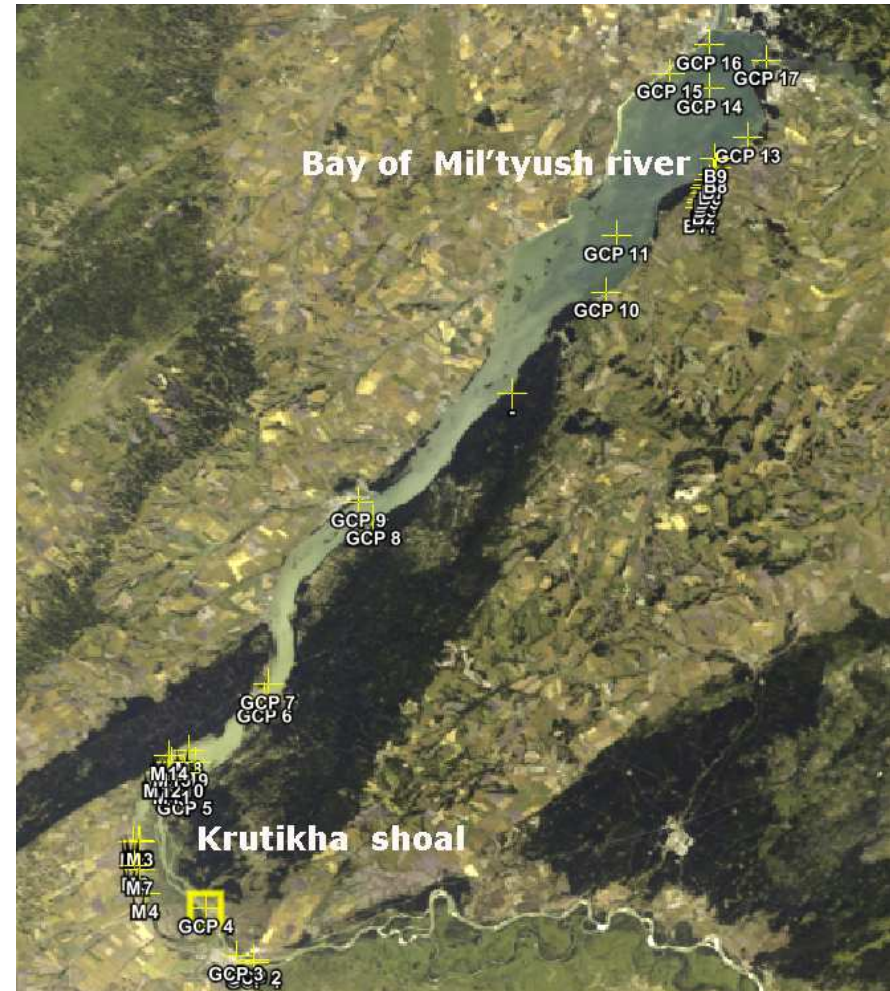
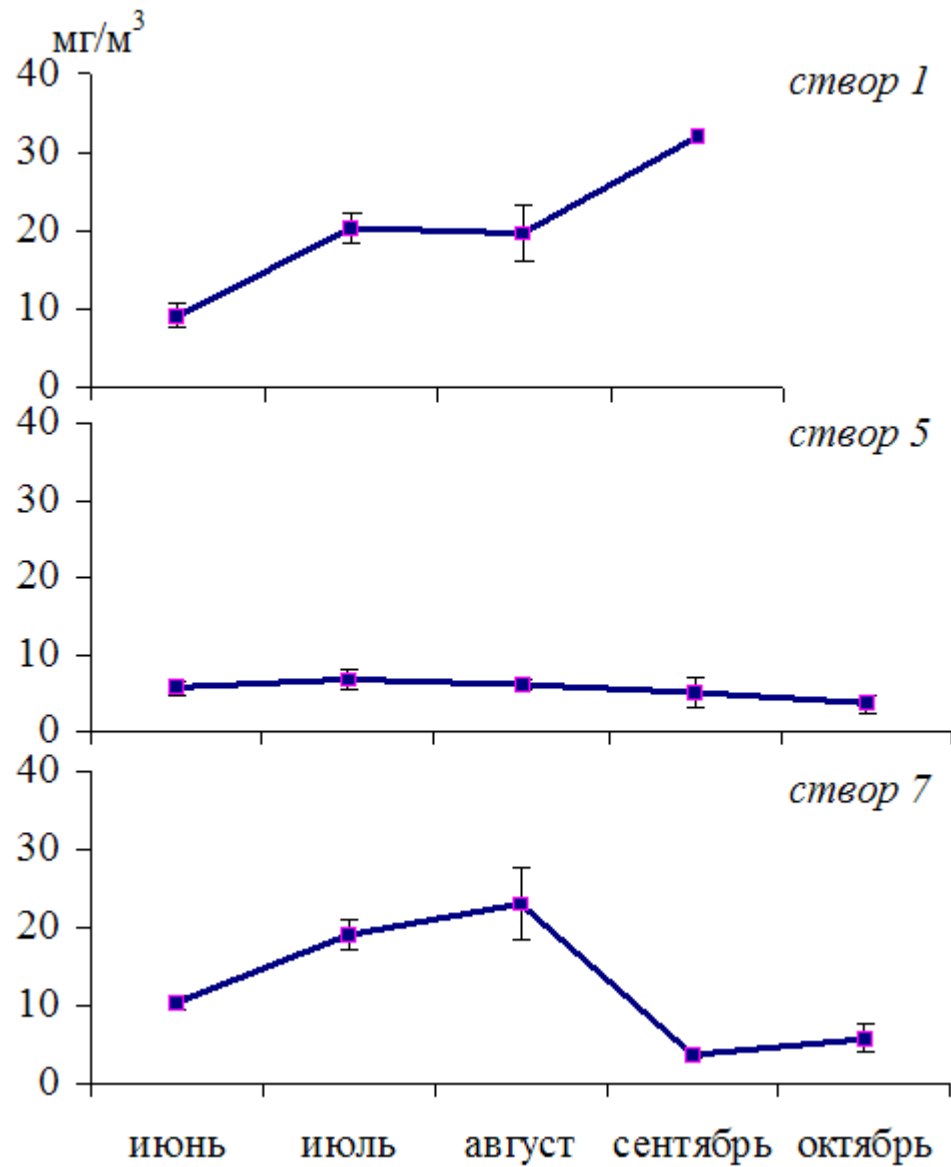


Хлорофилл (миллиграммы/куб.метр.) на основе MERIS-данных

Октябрь



ЧТО БЫ НАМ ХОТЕЛОСЬ ИССЛЕДОВАТЬ В БЛИЖАЙШЕМ БУДУЩЕМ





СПАСИБО ЗА ВНИМАНИЕ !

knm@iwer.asu.ru - вычислительный анализ
Vkirillov@iwer.asu.ru - гидробиологический анализ